

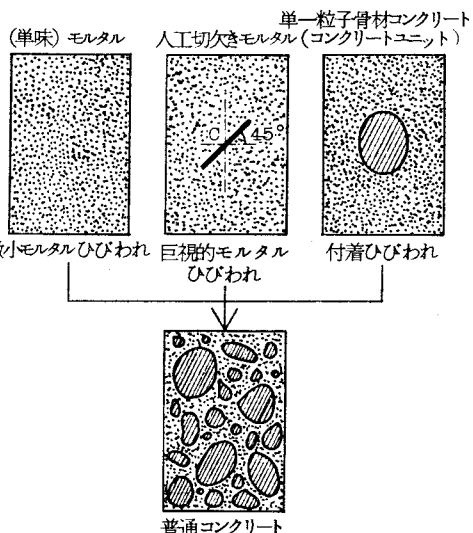
防衛大学校土木工学教室 正会員 加藤清志

1. まえがき

プレーンコンクリートの圧縮・曲げ・せん断載荷時のAE信号と破壊モードについて基礎的な実験研究を進めてきた。とくに、いずれのカタストロフィもAE法によれば最大荷重の85~95%で予知が可能であることなどを明らかにした^{1),2)}。ここではさらにミクロな観点から、圧縮載荷に伴う内部微小ひびわれのタイプをAE特性によって特定化するための基礎的実験を行なった結果について報告する。なお、荷重レベルと内部微小ひびわれ伸展状況については既報³⁾のとおりであるが、本研究は特定化されたAE信号からひびわれのタイプを推定し、最終的には荷重レベルあるいは残存強度の評価の規準を確立することを目的とするものである。

2. コンクリートの微小ひびわれとコンクリートのモデル化

一般に微小ひびわれには付着ひびわれ・モルタルひびわれ・骨材ひびわれ・気泡殻ひびわれ等が含まれるが³⁾、骨材ひびわれはコンクリートの耐力低下の直接的原因とはならず、また、気泡殻ひびわれは主としてモルタルひびわれの核となるものであるからモルタルひびわれのカテゴリーに入れるものとすると、前2者がドミナントな因子となる。この付着・モルタル各ひびわれの特長を明確にするために、図-1に示すようにコンクリートの複合構造を単純化した。すなわち、単味モルタルと切欠きモルタルとによってモルタルひびわれの発生の瞬間と成長過程の一般的性状を、また、単一粗骨材粒子からなるコンクリートユニットによって付着ひびわれの成長とのひびわれからモルタルひびわれへの遷移過程を考察する。



3. 供試体の作製と実験装置

モルタルマトリックスは重量比で1:1.5:0.49(フロー値は239)、単一粗骨材粒子寸法は120×56×41mm、切欠き用そろい板寸法は20×100×0.2mmでそれぞれのコンクリートモデルを、また、普通コンクリートは1:1.5:3:0.49の配合比で作製し、スランプは15.4cm、空気量は1.4%であった。セメントは普通ポルト、粗骨材の最大寸法は25mm、材令はすべて48日の水中養生法とした。実験装置のブロックダイヤグラムを図-2に示す。AE装置にはAE Corp. (U.S.A.) 製プロセッサー Model 201、センサー Model AC175LとN.F.ブロック社製デジタルストレージオシロスコープ等を用いた。予備実験により、AE信号そのものよりもRMSの形でダイレクトに観察した方が有効であることをつとめたので、デジタルストレージオシロスコープをモニターとして使用した。

4. 実験結果

(単味)モルタル、人工切欠きをもつモルタル、単一粒子骨材コンクリート、普通コンクリートの各応力レベルごとのRMS信号をそれぞれ図-3、図-4、図-5、図-6に示す。

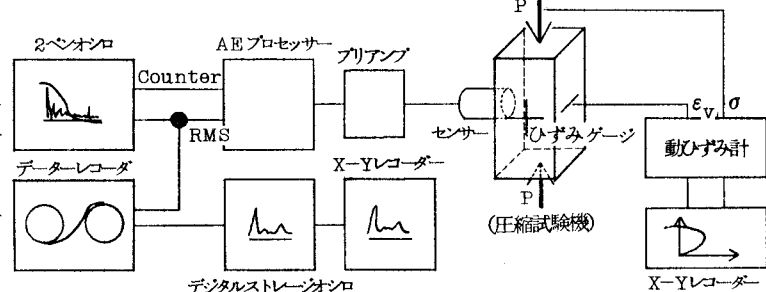


図-2 実験装置のブロックダイヤグラム

これらの要点は I. (単味) モルタルでは ①一般に高エネルギー的波形, ②高い応力レベルまでは散発的。II. 人工切欠きをもつモルタルでは ①“速いモルタルひびわれ成長”は高エネルギー的波形, ②“遅いモルタルひびわれ成長”には “Stagnant” がみられる。III. 单一粒子骨材コンクリートでは ①付着ひびわれは “速いモルタルひびわれ” のようには高エネルギー的ではない。②付着ひびわれを起点とするモルタルひびわれは II 型を示す。IV. 普通コンクリートでは I., II., III 型の複合型を示す。

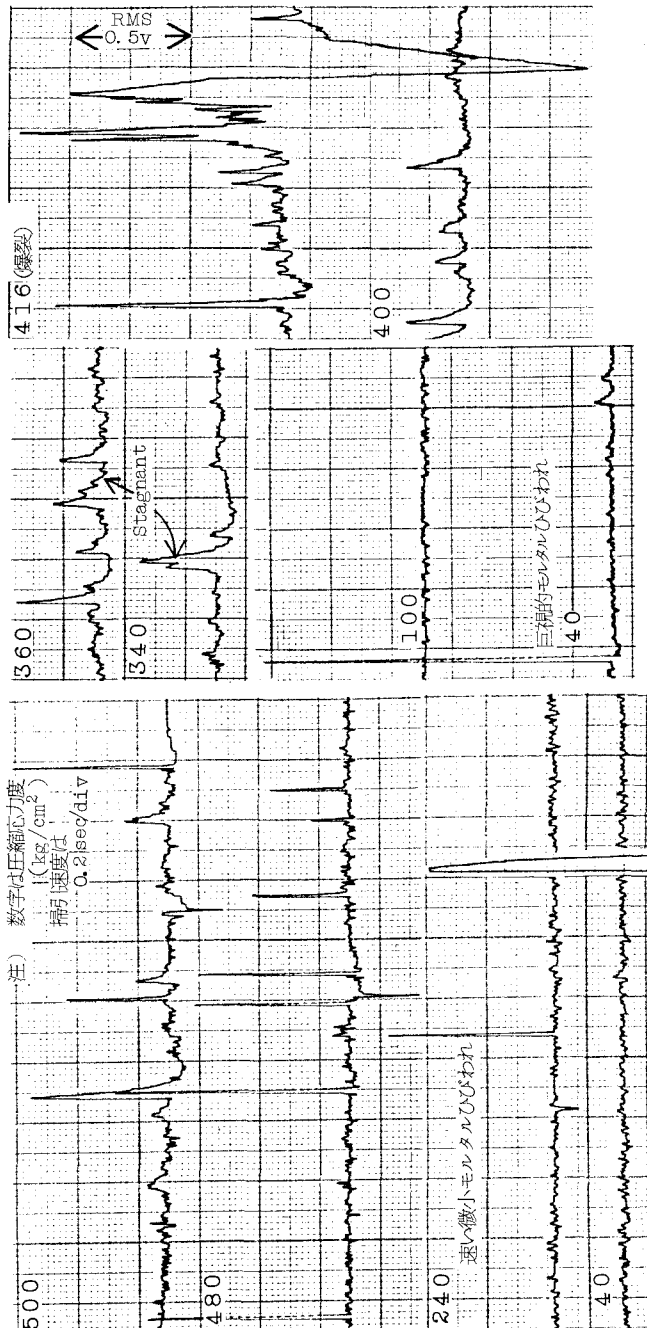


図-3 単味モルタルのひびわれ特性

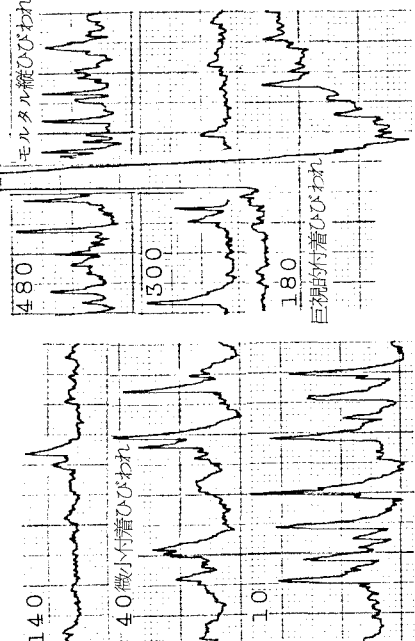


図-4 人工切欠きモルタルのひびわれ特性

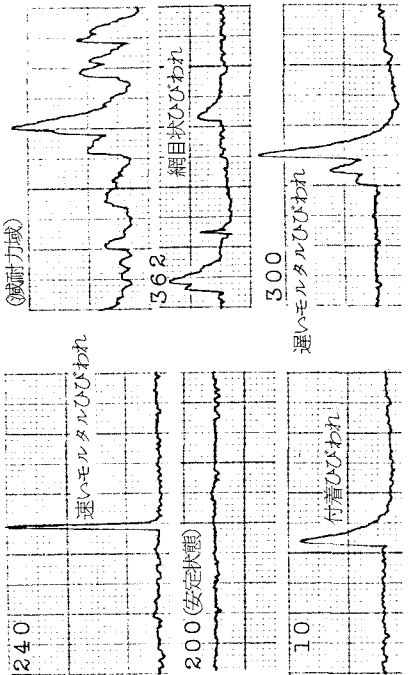


図-5 普通コンクリートのひびわれ特性

図-6 単粒骨材コンクリートのひびわれ特性

図-6 普通コンクリートのひびわれ特性

4. あとがき 本研究には 佐藤助手・堀越技官・鶴田職員らの助力を受けた。付記して謝意を表する。

〈参考文献〉 1) 加藤清志: 33 回年講 5, S. 53.9, pp.3-4. 2) 同上: 34 回年講 5, S. 54.10, pp. 3-4. 3) 同上: 土論, 188, 1971.4, pp. 61-72.